



IRANIAN SOCIETY of
CRYSTALLOGRAPHY
and MINERALOGY

Vol. 11, No. 2, 1382/2003 Fall

IRANIAN JOURNAL OF
CRYSTALLOGRAPHY
and MINERALOGY

Geothermobarometry and determination type of metamorphism in the amphibolites of the north and north- west of Khoy on the basis of amphibole chemistry

H. Azizi¹, H. moinvaziri², K.Smaeili¹

1- Mining Dept., University of Kurdistan, Iran.

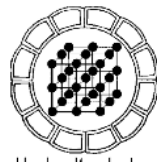
E-mail: hossien_azizi@uok.ac.ir

2- Geology Dept., University of Tarbiat e moalem, Iran.

(received: 30/5/2003, received in revised form: 20/7/2003)

Abstract: Amphiboles are one of the major minerals in metabasic rocks in greenschist to upper amphibolite facies. Amphiboles have variable chemical composition, therefore, various elements with different ionic charge and radius can enter into their structure that occupy special mineralogical sites. There are some elements in amphiboles which are sensitive to the changes of pressure and temperature. The important elements from this points of views are Al, Na, Ti and Ca. **Once that pressure and temperature of metamorphism is determined, the type of metamorphism can be distinguished.** On this basis, we studied metabasic rocks of north and northwest of khoy township in north-west (NW) Iran. Geothermobarometry estimation indicates that amphiboles have crystallized at temperatures between 550°C and 680°C and pressures between 4.5 and 7 kbars. Therefore, metamorphism in the Khoy area was low to medium grade.

Keywords: *Amphibole, Metabasite, Khoy, Geothermobarometry.*



محاسبه ژئوترموبارومتری و تعیین نوع دگرگونی آمفیبولیتهای شمال و شمال غرب خوی بر اساس ترکیب شیمیایی آمفیبولها

حسین عزیزی^۱، حسین معین وزیری^۲، کامران اسماعیلی^۱

۱- گروه معدن، دانشکده فنی و مهندسی، دانشگاه کردستان.

پست الکترونیکی: hossien_azizi@uok.ac.ir

۲- گروه زمین‌شناسی، دانشگاه تربیت معلم تهران.

(دریافت مقاله ۱۳۸۲/۲/۱۰ ، دریافت نسخه نهایی ۱۳۸۲/۴/۲۹)

چکیده: آمفیبولها یکی از کانیهای اصلی متабازیتها، از رخساره شیست سبز تا آمفیبولیت فوقانی را تشکیل می‌دهند. این کانیها به دلیل فرمول شیمیایی متغیری که دارند از نظر بار الکتریکی و شعاع یونی، عناصر مختلفی را می‌توانند در ساختار خود جای دهند. بین اجزای تشکیل دهنده آمفیبولها عناصری وجود دارند که نسبت به تغییر فشار و دما حساسند و در واقع مقدار آنها در ساختار کانی تابع فشار و دماست. مهمترین این عناصر عبارتند از: Ti, Al, Na و Ca، که علاوه بر مقدار، جایگاه فضایی بلورشناختی آنها نیز می‌تواند در تعیین دما و فشار در تشکیل آمفیبولها کمک کند. همچنین علاوه بر تعیین دما و فشار از ترکیب آنها می‌توان انواع دگرگونی را نیز مشخص کرد. بر این اساس متابازیتهای شمال و شمال غرب خوی از لحاظ ژئوترموبارومتری مورد بررسی قرار گرفته‌اند. دما و فشار در تشکیل این سنگها با استفاده از ترکیب شیمیایی آمفیبولها محاسبه شده است. نتایج حاصل از محاسبات ژئوترموبارومتری نشان می‌دهد که این آمفیبولها در دمای بین ۵۵۰ تا ۶۸۰ درجه سانتیگراد و فشاری بین ۴,۵ تا ۷ کیلوبار شکل گرفته‌اند که نشان می‌دهد دگرگونی این منطقه در فشار متوسط تا فشار پائین صورت گرفته است.

واژه‌های کلیدی: آمفیبول، متابازیت، خوی، ژئوترموبارومتری.

مقدمه

کانیهای خانواده آمفیبول به عنوان یکی از کانیهای اصلی سنگهای دگرگونی بازیک به حساب می‌آیند. در این سنگها، آمفیبولها از رخساره شیست سبز (با دمای حدود 350°C) شروع به تبلور می‌کنند، و به تدریج با افزایش درجه دگرگونی به وسیله پلازیوکلаз غنی از کلسیم، گارنت، و پیروکسن همراهی می‌شوند [۳-۱]. در مرز بین رخساره شیست سبز و آمفیبولیت، هورنبلندها شکل می‌گیرد که در مواردی به صورت تیغه‌هایی از اکتینولیت به صورت اکسلوشن در می‌آیند [۴]. در شروع رخساره آمفیبولیت این کانی در میکروسکوپ به صورت پلئوکروئیسم سبز دیده می‌شود و به تدریج با افزایش دگرگونی به سمت قهوه‌ای متتمایل می‌گردد. هورنبلندها حتی تا رخساره گرانولیت پایین نیز می‌تواند پایدار باقی بماند. قابل توجه این که در بسیاری از متابازیتها به دلیل حضور این کانیها از رخساره شیست سبز تا گرانولیت و عدم واکنشهای ناپیوسته و همراهی آن با پلازیوکلاز، تشخیص درجات دگرگونی بر اساس خصوصیات میکروسکوپی آنها مشکل است. در چنین مواردی مجبوریم درجات دگرگونی را بر پایه واکنشهای پیوسته که از ترکیب شیمیایی کانیها استفاده می‌شود، محاسبه کنیم.

انتخاب نمونه و روش تجزیه

با توجه به این که هدف شناسائی نوع آمفیبولها و تعیین ترکیب شیمیایی آنها برای محاسبات ژئوترموبارومتری سنگهای دگرگونی است، لذا در این راستا پس از بررسی بیش از ۴۰۰ مقطع نازک از متابازیتهای شمال خوی، دو نمونه از آمفیبولیتها به دلیل گسترش وسیعی که داشته‌اند برای مطالعه ترکیب شیمیایی آمفیبولها انتخاب شد، که عبارتند از:

- نمونه D از سنگهای رخساره آمفیبولیت با مجموعه کانیایی هورنبلندها + پلازیوکلاز + گارنت.

- نمونه E از سنگهای رخساره آمفیبولیت با مجموعه کانیایی هورنبلندها + پلازیوکلاز.

کانیهای موجود در این نمونه‌ها با الکترون میکروپرور (EMPA) مدل Cameca SX-50 در دانشگاه لیدز انگلستان مورد تجزیه نقطه‌ای قرار گرفته‌اند که نتایج حاصل از آن در جدول ۱ آورده شده‌اند. محاسبه مقدار F و Cl به طور مستقیم و مقدار H_2O بر اساس مجموع آنیونها به روش غیرمستقیم محاسبه شدند، اما در حالت کلی و برای کنترل آنها به شیوه غیرمستقیم می‌توان از روش دیبر و همکاران [۵] استفاده کرد. محاسبه مقدار Fe^{+3} بر اساس روش شوماخر [۶] انجام گرفته است.

جدول ۱ ترکیب شیمیایی آمفیبولهای شمال غرب خوی به روش الکترون میکروپرور (EMPA) با ولتاژ ۱۵ kV و جریان نمونه A. نمونه D: مجموعه کانیایی هورنبلند + پلازیوکلاز + کلینوپیروکسن + گارنت + کوارتز. نمونه E: هورنبلند + پلازیوکلاز. * = اکتینولیت ناشی از تجزیه هورنبلند که در محاسبات ژئobarومتری مورد استفاده قرار نگرفته است.

oxide	D1	D2	D3	D4 core	* D4 rim	D5	D6	D7
SiO ₂	۴۲/۴۲	۳۸/۵۲	۴۱/۶۲	۴۳/۶۱	۵۴/۷۰	۴۲/۷۸	۳۸/۳۰	۴۲/۵۳
TiO ₂	۰/۶۹	۰/۹۷	۱/۵۰	۱/۷۸	۰/۰۰	۱/۳۸	۱/۰۲	۱/۲۳
Al ₂ O ₃	۱۱/۷۶	۱۶/۲۶	۱۳/۵۵	۱۱/۱۷	۱/۲۷	۱۲/۳۴	۱۶/۲۵	۱۲/۴
Cr ₂ O ₃	۰/۰۴	۰/۰۸	۰/۰۱	۰/۱۴	۰/۰۲	۰/۱۸	۰/۰۰	۰/۰۸
Fe ₂ O ₃	۳/۶۱	۳/۱۳	۱/۷۵	۱/۶۳	۰/۰۳	۱/۱۵	۳/۶۸	۱/۵۶
FeO	۱۵/۰۶	۱۶/۵۵	۱۴/۳۱	۱۴/۴۱	۱۲/۴۹	۱۴/۳۱	۱۶/۲۸	۱۴/۱۰
MnO	۰/۴۰	۰/۳۳	۰/۲۰	۰/۱۲	۰/۱۷	۰/۰۳	۰/۵۲	۰/۱۹
MgO	۹/۵۲	۶/۹۹	۹/۸۹	۱۰/۷۹	۱۵/۵۸	۱۰/۸۳	۷/۰۳	۱۰/۸۲
CaO	۱۱/۵۲	۱۱/۷۶	۱۱/۶۰	۱۱/۸۲	۱۲/۷۳	۱۱/۷۹	۱۱/۵۵	۱۱/۶۳
Na ₂ O	۱/۶۷	۱/۹۲	۱/۸۸	۱/۵۴	۰/۰۹	۱/۷۲	۱/۸۹	۱/۸۴
K ₂ O	۰/۷۳	۰/۷۹	۰/۵۵	۰/۷۵	۰/۰۱	۰/۱۹	۰/۸۳	۰/۷۹
H ₂ O	۱/۹۷	۱/۹۱	۱/۹۲	۱/۹۹	۲/۰۵	۱/۹۸	۱/۹۰	۱/۹۹
F	۰/۰۱	۰/۰۸	۰/۰۲	۰/۰۰	۰/۰۶	۰/۰۱	۰/۱۱	۰/۰۰
Cl	۰/۰۴	۰/۰۵	۰/۱۳	۰/۰۹	۰/۰۰	۰/۰۱	۰/۰۳	۰/۰۵
total	۹۹/۴۶	۹۹/۳۵	۹۹/۳۱	۹۹/۸۴	۹۹/۲۰	۹۹/۴۹	۹۹/۳۸	۹۹/۱۱
Fe as FeO	۱۸/۳۱	۱۹/۳۷	۱۵/۸۸	۱۵/۸۷	۱۲/۲	۱۵/۳۵	۱۹/۵۹	۱۵/۲۹

oxide	E1	E2 core	E2 rim	E3 core	E3 rim	E4 core	E4 rim	E5 core	E5 rim
SiO ₂	۸۸,۴۲	۸۳,۴۳	۲۶,۴۹	۶۳,۴۴	۴۶,۵۰	۶۰,۴۳	۵۵,۵۰	۵۴,۴۳	۶۹,۴۹
TiO ₂	۰,۲,۱	۶۳,۰	۵۸,۰	۷۶,۰	۴۶,۰	۹۸,۰	۴۱,۰	۹۷,۰	۴۶,۰
Al ₂ O ₃	۰,۵,۱۳	۴۳,۱۲	۱۳,۷	۴۱,۱۱	۶۷,۵	۰,۲,۱۳	۶۹,۵	۲۴,۱۳	۶۴,۶
Cr ₂ O ₃	۱۲,۰	۰,۰,۰	۰,۸,۰	۰,۳,۰	۰,۷,۰	۱۲,۰	۰,۰,۰	۰,۶,۰	۰,۳,۰
Fe ₂ O ₃	۸,۰,۱	۵۰,۱	۶۷,۱	۶۳,۱	۳۷,۱	۲۵,۱	۴۹,۱	۰,۳,۲	۶۷,۱
FeO	۶۸,۱۳	۵۴,۱۳	۷۸,۱۱	۹۰,۱۳	۵۱,۱۲	۱۹,۱۴	۰,۸,۱۳	۶۱,۱۲	۵۹,۱۲
MnO	۳۸,۰	۳۷,۰	۳۷,۰	۱۳,۰	۳۲,۰	۳۶,۰	۳۴,۰	۰,۳,۱	۲۸,۰
MgO	۳۰,۱,۰	۷۱,۱,۰	۳۸,۱۲	۹۷,۱۰	۸۴,۱۳	۲۲,۱۰	۵۴,۱۳	۵۸,۱۰	۷۴,۱۳
CaO	۷۵,۱۱	۹۲,۱۱	۱۲	۸۵,۱۱	۹۶,۱۱	۸۰,۱۱	۹۶,۱۱	۷۲,۱۱	۱۱,۱۲
Na ₂ O	۱۶,۱	۲۰,۱	۶۳,۰	۰,۴,۱	۵۸,۰	۱۱,۱	۵۳,۰	۳۰,۱	۶۹,۰
K ₂ O	۸۹,۰	۹۱,۰	۳۲,۰	۷۳,۰	۲۰,۰	۹۴,۰	۱۷,۰	۰,۶,۱	۲۵,۰
H ₂ O	۹۵,۱	۹۵,۱	۰,۲,۲	۰,۰,۲	۰,۴,۲	۰,۰,۲	۰,۶,۲	۰,۱,۲	۰,۶,۲
F	۰,۹,۰	۰,۹,۰	۰,۷,۰	۰,۱,۰	۰,۲,۰	۰,۱,۰	۰,۰,۰	۰,۰,۰	۰,۰,۰
Cl	۰,۵,۰	۰,۹,۰	۰,۳,۰	۰,۳,۰	۰,۲,۰	۰,۷,۰	۰,۳,۰	۰,۹,۰	۰,۳,۰
total	۱۱,۹۹	۳۸,۹۹	۳۱,۹۹	۱۳,۹۹	۴۹,۹۹	۶۷,۹۹	۸۵,۹۹	۷۸,۹۹	۱۸,۱۰۰
Fe as	۲۹,۱۵	۹۰,۱۴	۲۸,۱۲	۳۷,۱۵	۷۵,۱۳	۳۱,۱۵	۴۲,۱۴	۴۲,۱۴	۰,۹,۱۴

فرمول ساختاری و محاسبه اعضای نهائی آمفیبولها

آمفیبولها دارای فرمول عمومی $AB_{\text{vi}}^{\text{iv}} C_5^{\text{iv}} T_8 O_{22}(\text{OH})_2$ هستند [۷]. موقعیت‌های A، B، C و T توسط کاتیونهای مختلف اشغال می‌شوند. در حالت کلی، A یک جایگاه، B دو جایگاه (M^۴) و C پنج جایگاه بلوری (1M1، ۱M^۳۲، ۱۲M^۳ و T) از هشت جایگاه موجود در واحد ساختاری آمفیبولها را اشغال می‌کنند. با توجه به اندازه کاتیونها، هر یک از عناصر بر اساس اندازه و شعاع یونی خود می‌توانند موقعیت‌های A، B، C و T را اشغال کنند. عناصر با شعاع یونی بزرگتر (مانند K) فقط جایگاه A را اشغال می‌کنند. بر همین اساس، اتمهای Na در جایگاه‌های A یا B، Ca، Fe، Mg، Ni، Co فقط در جایگاه B، اتمهای Mn و Trjighا در جایگاه C یا T قرار می‌گیرند. با توجه به نوع عناصری که در جایگاه B قرار می‌گیرند لیک و همکاران [۷] آمفیبولها را به چهار گروه زیر تقسیم کرده‌اند:

- ۱- آمفیبولهای Mg-Fe-Mn-Li که در این گروه $(\text{Mg}, \text{Fe}, \text{Mn}, \text{Li}) B \geq 1$ و $(\text{Ca} + \text{Na}) B < 1$.
- ۲- گروه کلسیک که در آنها $\text{CaB} > 1,5$ و $\text{NaB} < 0,5$.
- ۳- گروه سدیک-کلسیک که در آنها $\text{CaB} = 0,5 - 1,5$ و $\text{NaB} = 0,5 - 1,5$.
- ۴- گروه سدیک که در آنها $\text{NaB} \geq 1,5$.

ما نیز از این روش برای رده‌بندی آمفیبولهای موجود در متابازیتهای شمال خوی استفاده کردیم. فرمول ساختاری آمفیبولها بر اساس ۲۳ اکسیژن با استفاده از نرم افزارهای ویژه این کار (مانند axwin [۸]) تعیین شد که نتایج آن در جدول ۲ آمده است. در نمونه D تمامی آمفیبولها دارای $(\text{Ca} + \text{Na})$ بین ۱/۹ تا ۲، B و (Ca) بین ۱/۵۵۲ تا ۱/۹۷۱ هستند و مقدار $(\text{Na} + \text{K})\text{A}$ در آنها بسیار ناچیز است. در رده‌بندی لیک و همکاران [۷] آمفیبولهای موجود در متابازیتهای شمال خوی در محدوده آمفیبولهای کلسیک قرار می‌گیرند. آمفیبولهای کلسیک نیز بر اساس $(\text{Ca})\text{B}$ و $(\text{Na} + \text{K})\text{A}$ به دو گروه زیر تقسیم می‌شوند: گروه اول $(\text{Ca})\text{B} > ۱/۵$ و $(\text{Na} + \text{K})\text{A} \geq ۰/۵$. گروه دوم $(\text{Ca})\text{B} > ۱/۵$ و $(\text{Na} + \text{K})\text{A} < ۰/۵$.

در رده‌بندی آمفیبولها [۷] که بر اساس تغییرات اتمهای سیلیسیم در واحد فرمول و مقادیر $\text{Mg}/(\text{Mg} + \text{Fe}^{+2})$ و $\text{Ti}/(\text{Mg} + \text{Fe}^{+2})$ و عنصر آلکالن تنظیم شده است، نمونه‌های آمفیبولی D در محدوده فروپارگازیت و منیزیوهاستنگیت و آمفیبولهای E در محدوده گروه دوم آمفیبولهای کلسیک قرار می‌گیرند (شکل ۱).

لازم به پادآوری است که بخش مرکزی بلورهای آمفیبول موجود در نمونه E غنی از مولکول چرماک و بخش حاشیه بلورها از نوع منیزیم هورنبلند است. در واقع بخش مرکزی از عناصری مانند آلومینیوم، کلسیم نسبت به حاشیه غنی تر و بر عکس عناصری مانند سیلیسیم، منیزیم در حاشیه مرکز بیشتری پیدا کرده‌اند. ساختار منطقه‌ای بلورهای آمفیبول نشان تبلور و رشد این کانی در دو شرط دگرگونی متفاوت است.

جدول ۲ فرمول ساختمانی آمفیبولها بر اساس ۲۳ اکسیژن و محاسبه پارامترها و اعضای انتهایی این کانیها.

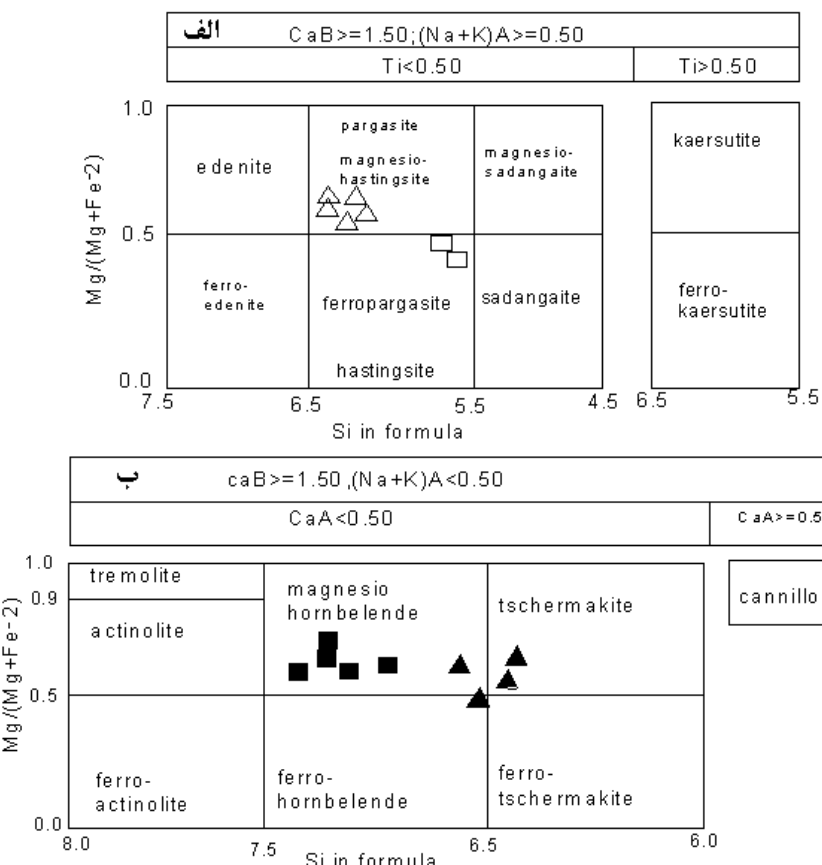
elements	D1	D2	D3	D4 core	D4 rim	D5	D6	D7
Si	۶/۴۰۳	۵/۸۹۱	۶/۲۵۱	۶/۴۹۱	۷/۹۰۰	۶/۳۹۰	۵/۸۶۲	۶/۷۳۵
Al	۱/۵۹۷	۲/۱۰۹	۱/۷۴۹	۱/۵۰۹	۰/۱۰۰	۱/۶۱۰	۲/۱۳۸	۱/۶۲۵
Sum T	۸/۰۰۰	۸/۰۰۰	۸/۰۰۰	۸/۰۰۰	۸/۰۰۰	۸/۰۰۰	۸/۰۰۰	۸/۰۰۰
Al	۰/۵۰۰	۰/۸۲۲	۰/۶۴۹	۰/۴۵۰	۰/۱۱۶	۰/۵۶۳	۰/۷۹۳	۰/۵۶۵
Ti	۰/۰۷۸	۰/۱۱۲	۰/۱۷۰	۰/۲۰۰	۰/۰۰۰	۰/۱۵۶	۰/۱۱۷	۰/۱۳۹
Cr	۰/۰۰۴	۰/۰۱۰	۰/۰۰۱	۰/۰۱۷	۰/۰۰۳	۰/۰۲۱	۰/۰۰۰	۰/۰۱۰
Fe^{+3}	۰/۴۱	۰/۳۶	۰/۱۹۸	۰/۱۸۲	۰/۰۰۳	۰/۱۳۰	۰/۴۲۴	۰/۱۷۶
Mg	۲/۱۴۳	۱/۵۹۵	۲/۲۱۶	۲/۳۹۴	۲/۳۵۴	۲/۴۱۱	۱/۶۰۴	۲/۴۱۹

Fe ⁺²	۱/۸۶۶	۲/۱۰۱	۱/۷۶۷	۱/۷۵۷	۱/۵۰۹	۱/۷۱۹	۲/۰۶۳	۱/۸۹۱
Mn	•/•••	•/•••	•/•••	•/•••	•/•۱۶	•/•••	•/•••	•/•••
Sum C	۵/•••	۵/•••	۵/•••	/•••	۵/•••	۵/•••	۵/•••	۵/•••
Fe ⁺²	۰/۳۵۰	۰/۰۱۵	۰/۰۳۰	۰/۰۴۷	۰/۰۰۰	۰/۰۶۸	۰/۰۲۱	۰/۰۷۶
Mn	•/۰۵۱	•/۴۳۰	•/۰۲۵	•/۰۱۵	•/۰۰۵	•/۰۰۴	•/۰۶۷	•/۰۱۲
Ca	۱/۸۶۲	۱/۹۲۷	۱/۸۶۷	۱/۸۸۵	۱/۹۷۱	۱/۸۸۷	۱/۸۹۴	۱/۸۶۸
Na	•/۰۵۲	•/۰۱۵	•/۰۷۷	•/۰۶۴	•/۰۲۵	•/۰۴۱	•/۰۱۸	•/۰۴۴
Sum B	۲/•••	۲/•••	۲/•••	۲/•••	۲/•••	۲/•••	۲/•••	۲/•••
Na	•/۴۳۹	•/۵۵۵	•/۴۷۰	•/۳۸۲	•/۰۰۱	•/۴۵۶	•/۵۴۳	•/۴۹۰
K	•/۱۴۰	•/۰۵۳	•/۱۶۹	•/۱۴۲	•/۰۰۲	•/۱۶۸	•/۱۶۲	•/۱۵۱
total	۱۵/۵۷۹	۱۵/۷۹	۱۵/۶۳۹	۱۵/۵۲۳	۱۵/۰۰۳	۱۵/۶۲۶	۱۵/۷۰۵	۱۵/۶۴۰
Ca+Na on B	۱/۹۱۴	۱/۹۴۲	۱/۹۴۴	۱/۹۴۸	۱/۹۹۵	۱/۹۲۸	۱/۹۱۲	۱/۹۱۲
Ca on B	۱/۸۶۲	۱/۹۲۷	۱/۸۶۷	۱/۸۸۵	۱/۹۷۱	۱/۸۸۷	۱/۸۹۴	۱/۸۶۸
Na on B	•/۰۵۲	•/۰۱۵	•/۰۷۷	•/۰۶۴	•/۰۲۵	•/۰۴۱	•/۰۱۸	•/۰۴۴
Na+K on A	•/۵۷۹	•/۷۰۹	•/۶۳۹	•/۵۲۳	•/۰۰۳	•/۶۲۶	•/۷۰۵	•/۶۴۰
Sum L	۴/۹۳	۲/۷۸۰	۴/۰۳۲	۴/۲۰۰	۴/۸۸۱	۴/۲۰۰	۳/۷۴۹	۴/۱۹۷
Al ^{۳+}	•/۵۰۰	•/۰۲۲	•/۶۴۹	•/۴۵۰	•/۱۱۶	•/۵۶۳	•/۷۹۳	•/۵۶۵
Mg/(Mg+Fe ⁺²)	•/۵۲۰	•/۴۳۰	•/۵۵۲	•/۵۷۲	•/۶۹۰	•/۵۷۵	•/۴۳۵	•/۵۷۸
name	pargasite	Ferroparg-	pargasite	pargasite	actinolite	pargasite	Ferroparg-	pargasite
	asite						asite	

داده جدول ۲

elements	E1	E2 core	E2 rim	E3 core	E3 rim	E4 core	E4 rim	E5 core	E5 rim
Si	۶/۴۰۳	۶/۵۱۶	۷/۱۸۱	۶/۶۳۴	۷/۳۴۲	۶/۴۷	۷/۳۳	۶/۴۲۸	۷/۲۰۰
Al	۱/۵۹۳	۱/۴۸۴	۰/۸۱۹	۱/۳۶۶	۰/۶۵۸	۱/۰۳	۰/۶۵۶	۱/۵۷۲	۰/۸۰۰
Sum T	۸/•••	۸/•••	۸/•••	۸/•••	۸/•••	۸/•••	۸/•••	۸/•••	۸/•••
Al	•/۰۵	•/۶۹۴	•/۴۰۶	•/۶۳۴	•/۳۰۹	•/۷۴۷	•/۳۱۸	•/۷۲۲	•/۳۳۴
Ti	•/۱۱۴	•/۰۹۳	•/۰۶۴	•/۰۸۵	•/۰۵۰	•/۱۱۰	•/۰۴۵	•/۱۰۷	•/۰۵۰
Cr	•/۰۱۴	•/•••	•/۰۱۰	•/۰۰۴	•/۰۰۸	•/۰۱۰	•/۰۰۰	•/۰۰۷	•/۰۰۳
Fe ³⁺	•/۰۲۰	•/۱۶۸	•/۱۸۳	•/۱۸۳	•/۱۵۰	•/۱۳۹	•/۱۶۳	•/۲۲۵	•/۱۸۲
Mg	۲/۲۹۴	۲/۳۷۴	۲/۹۰۸	۲/۴۳۱	۳/۰۰۲	۲/۲۶۱	۲/۹۳۳	۲/۳۸۹	۲/۹۶۹
Fe ⁺²	۱/۸۷۱	۱/۸۷۰	۱/۴۳۰	۱/۶۶۳	۱/۴۸۰	۱/۷۲۹	۱/۵۴۱	۱/۵۴۰	۱/۴۶۱
Mn	•/•••	•/•••	•/•••	•/•••	•/•••	•/•••	•/•••	•/•••	•/•••
Sum C	۵/•••	۵/•••	۵/•••	۵/•••	۵/•••	۵/•••	۵/•••	۵/•••	۵/•••
Fe ⁺²	•/۰۳۸	•/۰۱۴	•/۰۰۸	•/۰۶۵	•/۰۴۲	•/۰۳۳	•/۰۴۸	•/۰۱۷	•/۰۶۴
Mn	•/۰۴۸	•/۰۴۷	•/۰۴۶	•/۰۱۶	•/۰۳۹	•/۰۴۸	•/۴۲۰	•/۰۳۸	•/۰۳۴
Ca	۱/۸۸۲	۱/۸۹۸	۱/۸۴۷	۱/۸۸۷	۱/۸۶۴	۱/۸۷۶	۱/۸۶۲	۱/۸۵۶	۱/۸۸۰

Na	۰/۰۳۲	۰/۰۴۲	۰/۰۷۴	۰/۰۴۲	۰/۰۵۵	۰/۰۴۴	۰/۰۴۸	۰/۰۸۹	۰/۰۴۴
SumB	۲/۰۰۰	۲/۰۰۰	۲/۰۰۰	۲/۰۰۰	۲/۰۰۰	۲/۰۰۰	۲/۰۰۰	۲/۰۰۰	۲/۰۰۰
Na	۰/۳۰۵	۰/۳۰۳	۰/۱۰۶	۰/۲۶۸	۰/۱۰۹	۰/۲۷۶	۰/۱۰۱	۰/۲۸۳	۰/۱۵۷
K	۰/۱۷۰	۰/۱۷۳	۰/۰۶۰	۰/۲۳۸	۰/۳۶۰	۰/۱۷۷	۰/۰۳۲	۰/۱۹۹	۰/۰۴۵
total	۱۵.۴۷۵	۱۵.۴۷۷	۱۵.۱۶۵	۱۵.۴۰۷	۱۵.۱۴۶	۱۵.۴۵۲	۱۵.۱۳۳	۱۵.۴۸۲	۱۵.۲۰۲
Ca+Na on B	۱.۹۱۴	۱.۹۴۰	۱.۹۴۸	۱.۹۱۹	۱.۹۱۹	۱.۹۱۹	۱.۹۱۰	۱.۹۴۵	۱.۹۰۱
Ca on B	۱.۵۵۲	۱.۸۹۷	۱.۸۷۴	۱.۸۸۷	۱.۸۶۴	۱.۸۷۶	۱.۸۶۲	۱.۸۵۶	۱.۸۸۰
Na on B	۰/۰۳۲	۰/۰۴۲	۰/۰۷۴	۰/۰۳۲	۰/۰۵۵	۰/۰۴۴	۰/۰۴۶	۰/۰۸۹	۰/۰۲۲
Na+K on A	۰/۴۷۵	۰/۴۷۷	۰/۱۶۵	۰/۴۰۷	۰/۱۴۶	۰/۴۵۴	۰/۱۳۳	۰/۴۸۲	۰/۲۰۲
Sum L	۴.۰۴۶	۴.۰۹۹	۴.۳۸۴	۴.۱۷۴	۴.۵۶۲	۴.۰۹۱	۴.۰۶۷	۴.۹۸۲	۴.۵۲۸
Al ^{۳+}	۰/۰۷۰	۰/۶۹۴	۰/۰۶۰	۰/۶۳۴	۰/۳۰۹	۰/۷۴۷	۰/۳۱۸	۰/۷۲۲	۰/۳۳۴
Mg(Mg+Fe ²⁺)	۰/۵۷۳	۰/۵۸۵	۰/۶۶۹	۰/۵۸۵	۰/۶۶۹	۰/۵۶۲	۰/۶۴۹	۰/۶۰۵	۰/۶۶۱
name	Tscherma- kite	Mg-hbl	Mg-hbl	Mg-hbl	Mg-hbl	Tscherma- kite	Mg-hbl	Tscherma- kite	Mg-hbl



شکل ۱ رده‌بندی آمفیبولهای کلسیک [۷]. a: علامت مربوط به آمفیبولهای موجود در متابازیتهای شمال خوی است که دارای مجموعه کانیایی $\text{Cpx} + \text{Grt} + \text{Pl} + \text{Hbl}$ هستند (نمونه‌های D). مثلثها مربوط به هورنبلندها و مربعات مربوط به هورنبلندهای در تماس با گارنت‌اند. b: علامت معرف آمفیبولهای نمونه E است به طوریکه مثلثها نمایانگر بخش مرکزی و مربعات مربوط به حاشیه هستند. (آمفیبولیت E دارای مجموعه کانیایی $\text{Pl} + \text{Hbl} \pm \text{Chl}$ است).

ژئوترموبارومتری براساس ترکیب شیمیایی آمفیبول‌ها

به دلیل فرمول شیمیایی گسترده آمفیبولها، عناصر زیادی می‌توانند در ساختار این کانیها شرکت کنند. مقدار بعضی از این عناصر (Na, Ca, Ti, Al) تابع فشار، دما و فوگاسیته اکسیژن است. بنابراین مقدار و جابجایی این عناصر می‌تواند در ژئوترمومتری و ژئوبارومتری آمفیبولها مورد استفاده قرار گیرد [۹]. در جدول ۳ رابطه مثبت و یا منفی عناصر شاخص نسبت به تغییرات فشار، دما، فوگاسیته اکسیژن و فراوانی عنصر (غلظت) در آمفیبولها نشان داده شده است. با توجه به جدول ۳ مشخص می‌شود که $\text{Al}^{(\text{T})} = \text{Al}^{(\text{iv})} + \text{Al}^{(\text{vi})}$ $\text{Al}^{\text{T}} = \text{Al}^{\text{(iv)}} + \text{Al}^{\text{(vi)}}$ و Ti ژئوترمومتری و ژئوبارومتری آمفیبولها مناسب هستند زیرا مقدار $\text{Al}^{(\text{iv})}$ با افزایش دما افزایش یافته و تغییرات فشار بر آن بی‌اثر است. مقدار $\text{Al}^{(\text{vi})}$ در آمفیبولها با بالا رفتن فشار افزایش می‌یابد. مقدار Ti نیز تابع دما است و با افزایش دما در آمفیبولها مقدار آن افزایش می‌یابد. بنابراین مقدار تیتانیم موجود در آمفیبولها می‌تواند به عنوان یک ژئوترمومتر، دمای تشکیل آمفیبولها را بیان کند [۹]. همچنین $\text{Al}^{(\text{T})}$ و $\text{Al}^{(\text{vi})}$ نیز مبنای بارومتری در آمفیبولها محاسبه می‌شوند، زیرا مقدار $\text{Al}^{(\text{T})}$ در آمفیبولها تابع غلظت اولیه Al در سنگ مادر نیست، بلکه تابع فشار حاکم در طول تشکیل آمفیبولهاست (جدول ۳). به طور کلی آمفیبولهایی که در فشارهای بالا به وجود می‌آیند نسبت $(\text{Mg} / \text{Mg} + \text{Fe}^{+2})$ کمتری از آمفیبولهای فشار پایین دارند. همچنین مقدار SiO_2 در آمفیبولها (به ویژه در سنگهای آذرین) تابع مقدار SiO_2 در ماغماست نه دما و فشار. در حالیکه افزایش Al در آمفیبولها ناشی از کاهش SiO_2 در محیط نیست، بلکه ناشی از افزایش فشار است، زیرا غالباً در آمفیبولها ادخالهای کوارتز وجود دارد. مقدار $\text{Al}^{(\text{iv})}$ تابع دماست به طوریکه به ازای هر صد درجه سانتیگراد دما، تقریباً ۰,۳ کاتیونی $\text{Al}^{(\text{iv})}$ اضافه می‌شود [۹]. با در نظر گرفتن این پارامترها به ویژه مقدار $\text{Al}^{(\text{T})}$ در آمفیبولها، ژوهانسن، رتروفورد و هارکر [۹، ۱۵ و ۱۶] برای محاسبه فشار رابطه خاصی ارائه کردند که از آنها برای تعیین فشار حاکم بر محیط تبلور آمفیبولها استفاده کرده‌ایم (جدول ۴):

$$\text{P} = -392 + 4/23 \text{ Al}^{(\text{T})}$$

منظور از $\text{Al}^{(\text{T})}$ کل آلومینیوم موجود در آمفیبول است.

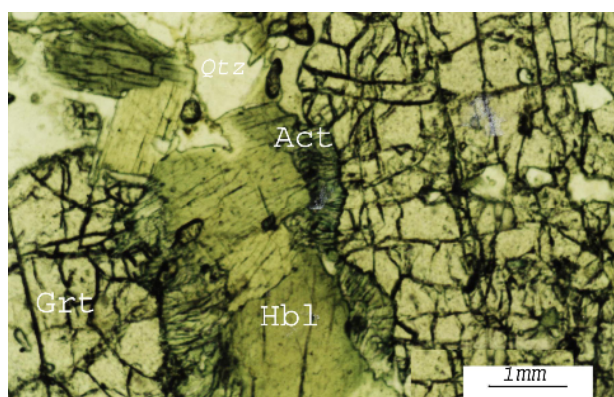
جدول ۳ تغییرات عناصر شاخص در آمفیبیول ها متناسب با فشار، دما، فوگاسیته اکسیژن و غلظت عنصر [۹]. +: افزایش، -: کاهش، مکانهای خالی: بی تأثیر.

عنصر	غلظت فوگاسیته اکسیژن	فشار	دما	منابع
Si			+	[۹ و ۱۰]
Al ^(iv)	+			[۱۱]
Al ^(vi)	-	+		[۱۱]
Ti	+	-	+	[۱۰ و ۱۱]
Mn	-			[۱۲]
Fe ⁺³ /(Fe ⁺³ +Fe ⁺²)	-			[۱۱]
Mg/(Mg+Fe ⁺²)	+	+	+	[۱۳]
مکان	+			[۱۳]
عناصر آلکالن			+	[۱۱]
Al ^(T)		+		[۱۱ و ۱۲]

چنانکه در بخش‌های قبلی نیز اشاره شد، آمفیبیولهای شمال خوی بسیار متفاوتند. مثلاً در آمفیبیولیت نمونه E که بیشتر از هورنبلند + پلازیوکلاز \pm کلریت تشکیل شده است (منطقه غرب جاده خوی- عسگرآباد)، بین مرکز و حاشیه آمفیبیولها از لحاظ ترکیب شیمیایی اختلاف وجود دارد (جدول ۱). در آمفیبیولیت نمونه D که آمفیبیولها با گارنت+کلینوپیروکسن(دیوپسید) + پلازیوکلاز همراهند نیز دو نوع آمفیبیول دیده شد، یک نوع در تماس با گارنت و دیگری بدون تماس با آن. آمفیبیولهایی که در تماس با گارنت هستند (نمونه‌های D7, D2)، فشاری در حدود ۸/۹ کیلوبار ولی آمفیبیولهای بدون تماس با گارنت در همان سنگ فشاری بین ۵/۹ تا ۷ کیلوبار را نشان می‌دهند (جدول ۴). بنابراین در این نمونه‌ها، اختلاف فشار بین آمفیبیولهای بدون تماس با گارنت و آمفیبیولهای در تماس با گارنت کاملاً محسوس است. حال این سوال مطرح می‌شود که آیا در این منطقه افزایش فشار باعث افزایش Al^(T) در آمفیبیولهای در تماس با گارنت شده و یا فرایندهای دیگری دخالت داشته‌اند. با توجه به این که بین گارنت و آمفیبیول یک حاشیه سمپلکتیکی (شکل ۲) متشكل از اکتینولیت + کوارتز حاصل شده است، بنابراین این مکان وجود دارد که در حین تحول هورنبلند به اکتینولیت، مقدار Mg در هورنبلند کاهش و آن تمرکز یافته باشد. در چنین حالتی افزایش Al در آمفیبیولها نمی‌تواند با افزایش فشار نسبتی داشته باشد. ضمناً یاد آور می‌شود که ژئobarومتر بالا وقتی از اطمینان کافی برخوردار است که آمفیبیول با پلازیوکلاز در تعادل باشد نه با گارنت.

در نمونه آمفیبیولیت E که متشكل از آمفیبیول + پلازیوکلاز است، آمفیبیولها دارای ساختار منطقه‌ای هستند و بین مرکز و حاشیه بلورها اختلاف ترکیب کاملاً واضح است. محاسبه

بارومتری نشان می‌دهد که بخش مرکزی این آمفیبولها در فشاری بین ۵ تا ۶/۲۵ کیلوبار و بخش حاشیه‌ای آنها در فشارهای کمتر (حدود ۰/۵ کیلو بار) متبلور شده است.



شکل ۲ ایجاد حاشیه سمپلکتیک متشکل از کوارتز واکتینولیت [Act] در حدفاصل گارنت [Grt] و هورنبلند [Hbl] در متابازیتهای شمال خوی.

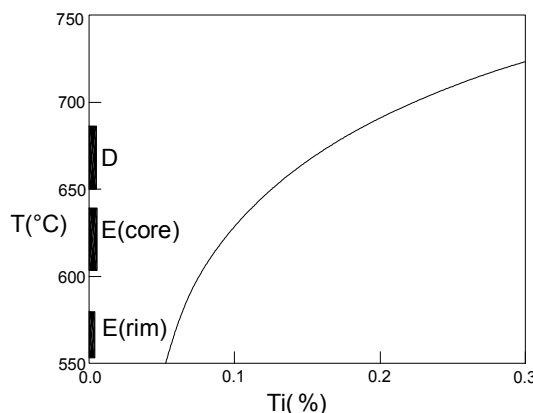
جدول ۴ محاسبه $Al^{(T)}$ و فشار (برحسب کیلوبار) به روش ژوهانسن وروتوفورد [۱۶]. به اختلاف فشار بین مرکز وحاشیه بلورهای آمفیبول در نمونه های E همچنین اختلاف فشار بین آمفیبول های درتماس با گارنت (D2 و D7) و آمفیبول های بدون تماس با گارنت توجه شود.

نمونه آمفیبول	$Al^{(T)}$	ژوهانسن وروتوفورد $P \pm 0.5 \text{ Kb}$
D1	۲,۰۹۷	۵,۴۱
D2	۲,۹۳۱	۸,۹۷۱
D3 مرکز بلور	۲,۳۹۸	۶,۶۷
D4 حاشیه بلور	۱,۹۵۹	۴,۸۳
D5	۰,۲۱۵	---
D6	۲,۷۱۳	۵,۷۳۱
D7	۲,۹۳۷	۸,۹۶۳
D8	۲,۱۹	۵,۸۰۳
E1	۲,۲۹۹	۶,۲۶۴
E2 مرکز بلور	۲,۱۷۸	۵,۷۵۲
E2 حاشیه بلور	۱,۲۲۵	۱,۷۲۱
E3 مرکز بلور	۲,۰۰	۵,۰۰
E3 حاشیه بلور	۰,۹۶۷	۰,۶۳۰

E4	مرکز بلور	۲,۲۷۷	۶,۲۱
E4	حاشیه بلور	۰,۹۵۴	۰,۵۷۵
E5	مرکز بلور	۲,۳۰۴	۶,۲۸
E5	حاشیه بلور	۱,۱۳۴	۱,۳۳۶

ژئوترمومتری بر اساس مقدار تیتانیم در کلینو آمفیبولها

حلالیت تیتانیم در کالیهای سیلیکاتی بویژه آمفیبولها، میکاها و پیروکسنها تابع دماس است. نمودار تغییرات Ti-دما برای اولین بار توسط راس در سال ۱۹۷۴ میلادی بکار گرفته شد که بعداً توسط رابینسون کالیبره و توسط هولوچر تکمیل شد [۱۳، ۱۷ و ۱۸]. ما نیز برای تعیین دمای تشکیل آمفیبولها در متایزیتهاشی شمال خوی از نمودار راس و هولوچر [۱۳ و ۱۸] استفاده کردیم. نمودار به کار برده شده در شکل ۳ نشان داده شده است. در این نمودار مقدار تیتانیم در کلینو آمفیبولها با افزایش فشار رابطه مستقیم دارد. مطابق این نمودار آمفیبول موجود در آمفیبولیتها دارای گارنت و کلینوپیروکسن (نمونه D) دماهای بین ۶۵۰ الی ۶۸۰ درجه سانتیگراد را نشان می‌دهند. این دما به روش‌های دیگر نیز تأیید شد [۱۹] و لی آمفیبول موجود در آمفیبولیتها فاقد گارنت و پیروکسن (نمونه E) نسبت به آمفیبولیتها گارنت و پیروکسن دار (نمونه D) دمای کمتری را نشان می‌دهند، به علاوه مقدار دمای اندازه‌گیری شده برای بخش مرکزی بلورهای آمفیبول (۶۰۰ الی ۶۴۰ درجه سانتیگراد) نسبت به حاشیه آنها (۵۵۰ تا ۵۸۰ درجه سانتیگراد) کمی بیشتر است. با توجه به این که در بخش حاشیه این آمفیبولها هم افت فشار و هم افت دما وجود دارد، بنابراین چنین حالتی از یک مسیر P-T-t نرمال حکایت می‌کند [۱۹ و ۲۰].

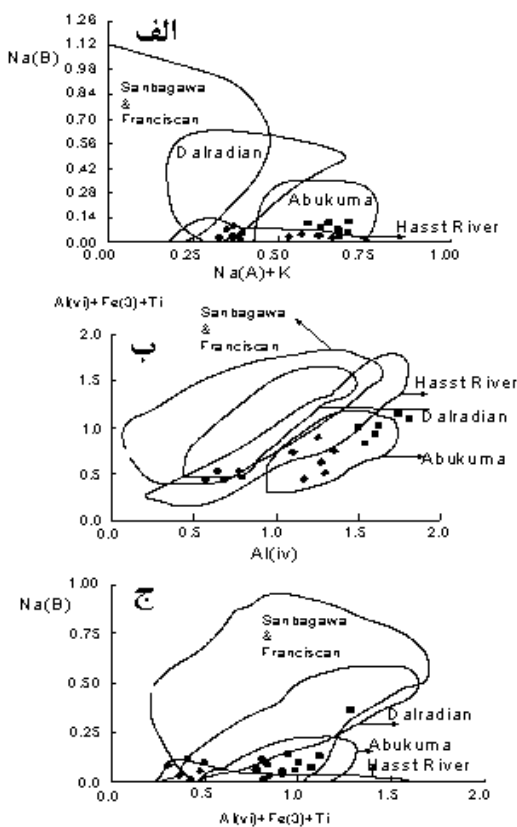


شکل ۳ نمودار ژئوترمومتر Ti در کلینوآمفیبولها [۱۸]. خطوط پر رنگ دمای تشکیل آمفیبولهای موجود در متابازیتهای شمال خوی را نشان می‌دهند.

نوع دگرگونی

با توجه به اینکه ترکیب آمفیبول‌ها با فشار و دما تغییر می‌کند، لارد و آلبی بر اساس این تغییرات، درجه دگرگونی و انواع آن را مشخص کرده‌اند [۲۱] که در شکل ۴ نشان داده شده است. به کمک این نمودارها، سنگ‌های دگرگونه فشار بالا (رخساره شیست آبی) از دگرگونه فشار متوسط متمایز می‌شوند. همانگونه که سنگ‌های دگرگونه سانباغاوای ژاپن و فرانسیسکن کالیفرنیا از سنگ‌های فشار متوسط دالرادیان اسکاتلنده و هاست ریور نیوزیلند متمایز شده‌اند. همچنین سنگ‌های دگرگونه فشار پائین، مثل آبوقومای ژاپن، از سنگ‌های دگرگونه فشار متوسط قابل تمیزند. در واقع اختلاف در ترکیب آمفیبولها می‌تواند به خوبی نوع دگرگونی را مشخص کند.

در شکل ۴ تغییرات $(Na(B))_{Al^{(iv)}} + Al^{(vi)} + Fe^{+3} + Ti$ در مقابل $(Na+K)A$ در مقابل $Na(B)_{Al^{(vi)}} + Fe^{+3} + Ti$ تصویر شده‌اند. مقدار $Na(B)$ جزء گلوکوفان را در ساختار آمفیبولها مشخص می‌کند که برای اندازه‌گیری فشار دگرگونی حائز اهمیت است. مطابق شکل ۴ آمفیبولهایی که در مناطق با فشار بالا به وجود آمده‌اند دارای $Na(B)$ بیشتری نسبت به آمفیبول‌های سایر مناطق‌اند، و آمفیبول‌های مناطق فشار متوسط دارای $Na(B)$ بیشتری نسبت به آمفیبول‌های فشار پایین هستند.



شکل ۴ ترکیب شیمیای آمفیبولهای شمال خوی در نمودارهای لاردوالی [۲۱]

E : مرکزنمونه های Hashemi ● : حاشیه نمونه های Hashemi ◆ : نمونه های Hashemi ■ : نمونه های Hasht River

مقدار $(Na+K)A$ می‌تواند منعکس کننده دمای دگرگونی باشد، زیرا تغییر در جزء ادنیت آمفیبولها (یعنی $O = O(A)Si^{IV}$) به شدت تابع دماست و آمفیبولهای موجود در سنگهای دگرگونه فشار بالا دارای مقدار $(Na+k)A$ کمتری بوده و بنابراین در دماهای پایین تری متبلور شده‌اند.

همچنین مقدار Al^{IV} به عنوان اندازه‌گیری مقدار تغییرات ادنیت + تغییرات چرم‌اکسی مذکور است. $Al^{VI} = Mg^{VI}$ و $Al^{IV} = Si^{IV}$. Al^{VI} بیانگر تغییرات چرم‌اکسی و گلوکوفان $Na(M4)Al^{VI}$ در ساختمان آمفیبول‌هاست. در فشار پایین، Al ترجیحاً جایگاه چهاروجهی و $Ca(M4)Si^{IV}$ در فشار بالا بیشتر جایگاه هشت‌وجی (Al^{IV}) را اشغال می‌کند. به همین دلیل است که نوع آلومینیوم می‌تواند در محاسبات ژئوتربومبارومتری حائز اهمیت باشد. با توجه به مطالب ذکر شده و نمودارهای شکل ۴، بیشتر آمفیبول‌های موجود در متابازیت‌های شمال خوی در محدوده دگرگونی نوع فشار متوسط (بارووین) تا فشار پائین (هاست ریور) قرار می‌گیرند.

نتیجه‌گیری

نتایج حاصل از تجزیه نقطه‌ای آمفیبولها نشان می‌دهد که آمفیبولیت‌های شمال و شمال غرب خوی در دمای بین ۵۵۰ تا ۶۸۰ درجه و فشاری بین ۴,۵ تا ۷ کیلوبار متبلور شده‌اند. محاسبات نشان می‌دهد که نوع دگرگونی این سنگها از نوع فشار متوسط تا فشار پائین است. بنابراین با توجه به اینکه این روش به روشهای دیگری مانند هورنبلند-پلازیوکلаз، گروسولر-آنورتیت-کوارتز-سیلیمانیت [۱۹ و ۲۰] نیز تایید شده است، لذا ترکیب شیمیای آمفیبولها و کانیهای در حال تعادل با آنها می‌توانند در تعیین ژئومتروبارومتری متابازیت‌ها مفید باشند. اما با توجه به محاسبات انجام شده مشکلاتی که وجود دارد این است که بسیاری از آمفیبولها ممکن است در حاشیه و یا در امتداد رخها تجزیه شده باشند که در چنین حالتی این روش مناسب نخواهد بود. لذا لازم است همواره در تعیین محاسبه دما و فشار تشکیل کانیها از کانیهای سالم و در حال تعادل با کانیهای دیگر و نیز از روشهای مختلف دیگر نیز استفاده کرد.

مراجع

- [1] Bucher K., Frey M., *Petrogenesis of metamorphic rocks*, Springer Verlag , (1994) p. 318.
- [2] Kretz R., *Metamorphic Crystallization*, John Wiley & Sons, (1994) p. 507.
- [3] Miyashiro A., *Metamorphic petrology*, UCL, (1994) p. 404.
- [4] Miyashiro A., *Metamorphism and Metamorphic Belts*, George Allen and Unwin, (1974) p. 492.
- [5] Deer W.A., Howie R.A., Zussman J., *An introduction to the rock forming minerals*, Longman, UK, (1992) p. 528.
- [6] Schumacher J.C., Canadian Mineralogist, **35** (1997) pp. 238-246.
- [7] Leake E., Woolley A.R., Birch W.D., Canadian Mineralogist, **35** (1997) pp. 219-246.
- [8] Powell R., Holland T., Axwin program software, university of Camberidge (1998).
- [9] Hammarstrom J.M., Zen E.A., American Mineralogist, **71** (1986) pp. 1297-1313.
- [10] Cawthorn R.G., Geochimica et Cosmochimica Acta, **40** (1976) pp. 1319-1328.
- [11] Spear F.S., American Journal of Science, **281** (1981) pp. 697-734.
- [12] Stephenson N.C.N., Lithos, **10** (1977) pp. 9-27.
- [13] Rasse P., Contributions to mineralogy and petrology, **45** (1974) pp. 231-236.
- [14] Helz R.T., Mineralogical Society of American , **9** (1982) pp. 279-346.

- [15] Harker B.R., *Igneous, sedimentary and metamorphic petrology*, John Wiley & Sons, (1997) p. 529.
- [16] Johnson M.C., Rutherford M.J., Geology, **17** (1989) pp. 837-841.
- [17] Robinson P., Spear F.S., Schumacher J.C., Laird J., Kelin C., Evans B.W., Doolan B.L., Mineralogical Society of America, Reviews in Mineralogy, **9B** (1981) pp. 1-228.
- [18] Hollocher K.T., *PhD thesis*, Departement of Geology and Geography, University of Massachusetts, (1985) p. 275.
- ۱۹ - عزیزی حسین، پایان نامه دکتری، دانشگاه تربیت معلم تهران (۱۳۸۰) ص. ۲۵۲.
- ۲۰ - عزیزی ح، معین وزیری ح، مجله م، نفره ئیان م، مجله علوم پایه دانشگاه اصفهان، (۱۳۸۲)، زیر چاپ.
- [21] Laird J., Albee A.L., American Journal of Science, **281** (1981) pp. 97-126.